

名古屋大学 学生会員 上野 誠

1 はじめに 従来の信頼性設計法は主として盛土と対象としたものであるため、破壊は建設時点だけを考えるより、時間というファクターを設計システムの中に導入する必要はなかった。しかし、豪雨、台風、地震などの自然現象に抵抗する構造物では、建設以後にどの程度の外力がどのような確率でいつ生起するかといふことが、経済的評価の上で非常に重要なとなる。また、構造物の寿命を考えたとき、その期間内に発生する外力の時間的な分布の推定も必要である。そこで、本報告では外力の生起時間の予測および構造物の耐用期間を考慮し、将来に予想される破壊の影響とも評価しうる経済的評価モデルを用いた信頼性設計法の内容を紹介する。

2 外力の生起時間の分布 一般に、地震や洪水のように発生がまれる事象の過程を表すモデルとしてはボアソン過程が用いられる。これは、事象の生起が時間的に独立であると仮定しても差しつかえないからである。豪雨、地震などの外力を独立な過程であると仮定し、外力の発生時間間隔をボアソン過程のモデルで表わそう。ベンジマニンは、地震の発生をボアソン過程と考えて、過去n年間にk回発生した地震が平均発生率のボアソン分布に従うことにより、母数レーベーのデータ $m_0$ の分布を次式で表わした。

$$P(m_0 | \nu, t_0) = (\nu t_0)^{m_0} e^{-\nu t_0} / m_0! \quad (1)$$

母数レーベーに関する事前情報がないため、 $[0, t_0]$ での散漫な一様分布を仮定し(1)式で表わされる情報が得られたときの母数 $\nu$ の推定分布(事後分布)をベイズの定理を用いて修正すれば次のようになる。

$$P(\nu | m_0, t_0) = \nu^{m_0} t_0^{-\nu+1} e^{-\nu t_0} / m_0! \quad (2)$$

外力間の時間間隔は、外力の過程がボアソン過程のとく指數分布に従うこと一般に知られている。実際には、構造物の耐用期間内に発生する外力の数は1回だけでなく、複数回に及ぶものと考える方が妥当だから、外力がk回発生する時間間隔 $T_k$ を考える。外力の生起がボアソン過程のとき、k回外力が発生するまでの時間間隔 $T_k$ がニコム分布( $k=1$ のとき指數分布)に従うことから、 $T_k$ の確率密度関数 $f_{T_k}(t)$ は次のようにある。

$$f_{T_k}(t) = \nu(\nu t)^{k-1} e^{-\nu t} / (k-1)! \quad (3)$$

(2), (3)式より過去のデータ $(m_0, t_0)$ が与えられたときの $T_k$ の確率密度関数 $f_{T_k}(t | m_0, t_0)$ は次式となる。

$$f_{T_k}(t | m_0, t_0) = \int_0^{\infty} P(\nu | m_0, t_0) f_{T_k}(t) d\nu = \frac{(m_0 + k)! t^{k-1} t_0^{m_0+k}}{m_0! (k-1)! (t+t_0)^{m_0+k+1}} \quad (4)$$

3. 耐用期間を考慮した信頼性設計法 前述のよう「将来に発生が予測される外力による破壊を考慮した信頼性設計法では、将来のコスト、便益を現時点に換算して評価することが必要である。経済政策の分野では投資に関する意思決定において、将来の価値を社会的割引率を用いて現時点に換算する現在価値の考え方が多く使われている。そこで、現在価値PVによってコスト、便益を表わそう。いま、t年後の便益をB(t, a)、初期コストをC\_c(a)、破壊損失費をC\_F(t, a)、破壊確率をP\_F(X, a)、外力の生起確率をP\_X(t)とする。aは設計の内容(アクション)と、Xは外力を表す。PVは、上記のファクターを用いて次式のように表わされる。

$$PV = \sum_{t=0}^{T_0} \frac{B(t, a)}{(1+r)^t} - C_c(a) - \sum_{t=0}^{T_0} \frac{C_F(t, a)}{(1+r)^t} \{ P_F(X, a) P_X(t) \} \quad (5)$$

ここに、rは割引率、 $T_0$ は構造物の耐用期間である。最適設計とはPVを最大にするアクションである。次に、災害防止対策において便益は被害額の軽減として評価できる。いま、アクションaのときの被害額をH(t, a)、aによるアクションのときの被害額をH(t, a)とすると、B(t, a)はその差に等しいから、

$$B(t, a) = H(t) - H(t, a) = C_F(t, a) P_X(t) \{ P_F(X) - P_F(X, a) \} \quad (6)$$

と表わされる。したがって、(5), (6)式より将来に発生が予測される外力による破壊損失、および被害の軽減とし

この便益を考慮した経済的評価基準が得られるわけである。すなはち、(5)式は  $\alpha$  と  $\beta$  の関数となっているので、耐用期間によっては最適解が変化することも考えられる。ただ、一般に構造物の耐用期間は物理的側面だけではなく、社会的、機能的な面から決定されることが多いから、その場合には  $\alpha$  を与件として設計すればよい。

4. 適用例 ケーススタディとして、図1のように危険斜面上に建設された送電鉄塔の防護工事の設計問題を扱おう。鉄塔の安定は斜面上に支配されるから、外力として斜面安定を左右する豪雨を考える。斜面状態の変化は、土中水分の変化による土の強度低下によるものと考えられるので、土中水分を評価するファクターとして実効雨量を採用する。これは、ある時点の水分量を前に降った雨量から算出する方法で、時間の経過による水分の減少を減少係数によって評価するものである。

減少係数は斜面土壤分砂率ロームであることより、0.7とした。過去38年間の水文データより200mm以上の実効雨量の発生時間間隔の分布を調べたところ、図2のようになつた。図2より、実効雨量の時間間隔が指數分布に従つものと考えられるから、この過程はボアソン過程と仮定しても妥当と思われる。図2中の実線は、(4)式において  $\kappa = 1$  としたときの理論分布であり、かなり予測精度は高いといえる。鉄塔防護工案（アクション）として表1のようないくつか種類（図3）が考えられ、その建設コストが計算された。鉄塔倒壊に対する損失  $C_1$  は時間的に一定とし、停電による損失、再建費等より約1,6000万円と見積られた。割引率は6%とする。外力（実効雨量）は4レベルに別れ、その代表値を用いて安定解析を行はれた（表2）。計算の結果、 $a_5$  が対策工案（移設地点を斜面Cの擁壁で保護する案）が最適であることが判明したが、 $a_3 \sim a_7$  ではPVに大きな差はみられないかった。図4では、左のとり方によってPVが変化する様子が示されている。この図より、現位置に鉄塔を放置する  $a_1$  案は明らかに不適であり、移設だけの  $a_2$  案は  $a_5$  案に比べれば有利だが、最適解  $a_5$  よりはるかに不利であることが分かる。

すなはち、この解析では構造物の抵抗力の時間的減衰を考えていないので、PVは  $\alpha$  の増加関数となる。これが（最適解  $a_5$  において）、抵抗力の低下を考えればPVの最大となる時点が存在することも予想され、最適耐用期間の設定も可能となるであろう。

1) Benjamin, Probabilistic Models for Seismic Force Design, Proc.ASCE, Vol.94, ST5, 1968.

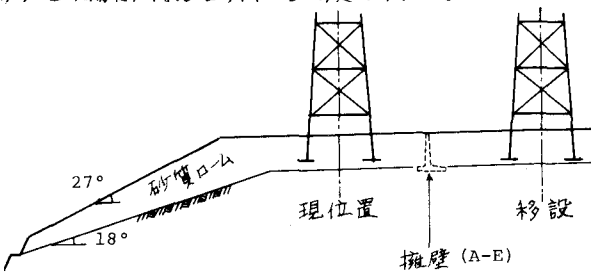


図1 斜面および鉄塔の概況

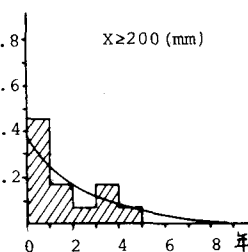


図2 実効雨量の時間間隔

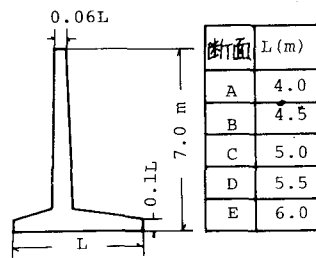


図3 防護擁壁の断面

表1 対策工と建設費

対策工	内容	建設費(万円)
a <sub>1</sub>	現位置で建てる	10866
a <sub>2</sub>	移設	13244
a <sub>3</sub>	移設+擁壁 A	17206
a <sub>4</sub>	移設+擁壁 B	17889
a <sub>5</sub>	移設+擁壁 C	18629
a <sub>6</sub>	移設+擁壁 D	19418
a <sub>7</sub>	移設+擁壁 E	20263

表2 外力(実効雨量)の区分

外力のレベル	外力(実効雨量)	代表値
X <sub>1</sub> 250 ≤ X ≤ 300	275	(mm)
X <sub>2</sub> 300 ≤ X ≤ 350	325	
X <sub>3</sub> 350 ≤ X ≤ 400	375	
X <sub>4</sub> 400 ≤ X	450	

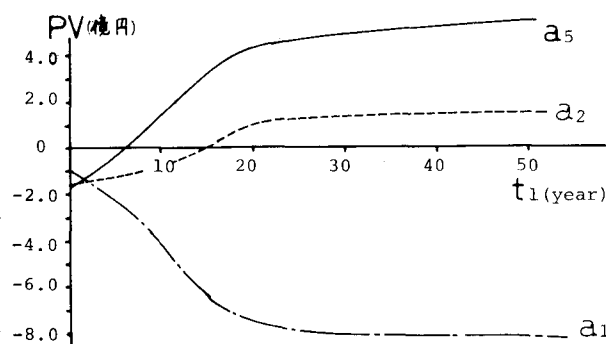


図4 耐用期間による現在価値の変化

この解析では構造物の抵抗力の時間的減衰を考えていないので、PVは  $\alpha$  の増加関数となる。これが（最適解  $a_5$  において）、抵抗力の低下を考えればPVの最大となる時点が存在することも予想され、最適耐用期間の設定も可能となるであろう。